

大阪大学工学部 正員 伊藤 富雄  
 大阪大学工学部 正員 久武 勝保  
 大阪市交通局 正員 竹山 高  
 近畿日本鉄道 正員○中村 雄二郎

### 1. はじめに

本研究は、双設シールドトンネルによつて生じる地表面沈下を、開拓トンネルの施工手順、トンネル掘進速度、地山の時間依存性、テールボイドの存在、及び圧気圧の作用を考慮して三次元的に解析する手法を示し、次いで本手法を実際の現場に適用し、この手法の妥当性を検証したものである。

### 2. 解析手法の概略

粘弹性地山内に、図-1に示すようなトンネルを速度  $V_1$  で掘削する場合、地表面沈下量  $u_2$  は次式で与えられる<sup>1)~4)</sup>

$$u_2(x_1, x_2 = h; t_1) = \int_0^{t_1} u_2^0(x_1, x_2 = h; t_1 - \tau) \frac{\partial}{\partial \tau} f_0(V_1(t_1 - \tau)) d\tau \quad (1)$$

ここに、 $t_1$  はトンネル縦断地表面測点  $x_2$  が沈下が生じ始める時刻を基準にして時間、 $t_0$  は先行沈下の生じる距離を  $V_1$  で除した時間、 $f_0$  はトンネル縦断地表面沈下の特性曲線<sup>2)</sup>、 $u_2^0$  は二次元粘弹性解析から求められたトンネル横断沈下であり、地山のボアソン比  $\nu$  は時間的に一定とする。また、後続トンネルが先行トンネルと平行に掘削される場合、後続トンネルのみによる地表面沈下量は、先行トンネルのセグメントに作用する地圧を考慮して算定され<sup>4)</sup>、全沈下量は先行、後続両トンネルによる沈下量の和として求められる。

### 3. 本解析手法の現場への適用

図-2に当現場の地質特性の一例を示す。本解析では、地山を多層地盤として取り扱い、粘性土は、次式で示すクリープ関数  $\phi_t = [1 + \alpha(1+t)]/E$  ( $E$ : 弹性定数,  $t$ : 日) を有する粘弹性体、砂質土は弾性体とし、地盤のボアソン比はすべて 0.4 と仮定する。また、粘性土の  $E$  は通常利用される式  $E = 105g\mu^5$ <sup>5)</sup> ( $g\mu$ : 一軸圧縮強度) で求めらるが、当現場付近において、 $g\mu$  上式に適用して算出した  $E$  と  $N$  値の関係及び砂質土に対する孔内水平載荷試験により  $E$  と  $N$  値の関係が、ともに図-3のように示してあり、それらの関係は式  $E = 5N + 70$ <sup>6)</sup> と比較的良好く合つてゐる。したがって、 $N$  値が既知の砂質土及び粘性土の  $E$  は上式で決定する。次に、当現場では、テールボイドへの裏込注入が早期に行われてゐるが、その成果を定量的に把握するには困難であるため、特徴的な下記の 2 つの場合を仮定して解析を行う。

ケース A: シールドの前進に伴つて、テールボイドへの裏込注入が完全に行われ、トンネル内面変位がシールドとセグメントにより完全に拘束される場合。

ケース B: 裏込注入の効果を無視し、切端手前のトンネル内面がテールボイドの厚さだけ変位するまで、トンネルが素掘状態にあるとする場合。ただし、トンネル内面の横断面内における変位は、内面上の各点が異なるから、トンネル縦断面での直径の変化がテールボイドの 2 倍に達するまで、トンネルは素掘状態にありその後はトンネル内面の変位がセグメントにより完全に拘束されるとする。

なお、セグメントがトンネル内面変位を拘束した後、地表面沈下の増分はない。

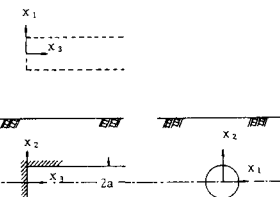


図-1 幾何学的関係

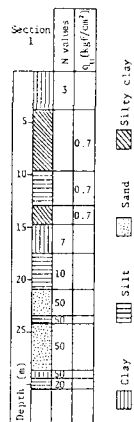


図-2 地質特性の一例

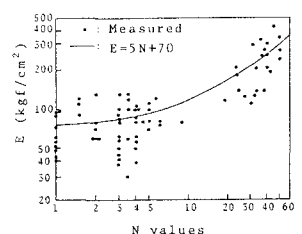


図-3 E と N 値の関係

ものとする。<sup>1), 4)</sup>

#### 4. 解析結果と実測結果の比較

図-4は、先行及び後続トネルの縦断地表測点M<sub>1</sub>, M<sub>2</sub>の経時沈下量について、先行トネルの切端が測点M<sub>1</sub>の直下に達した時刻を基準にし、解析と実測の結果を比較したものである。同図には、前記ケースA, Bの解析結果とともに、両トネルが素掘のまま放置されたときの解析結果も併記されていいるが、その場合の沈下量は、当然のことながらケースA, Bの解析及び実測の結果に比べて非常に大となることがわかる。また、ケースAとBの解析結果を比較すると、それらの沈下量の差は決して無視できず。したがって、地表面の沈下量を抑制するには、テールボイドへの裏込注入を早急に行い、トネル内面を拘束する必要があるという現場の教訓が、本解析によて定量的に解明されたといえり。なお、ケースAの解析は地圧の反力が先行沈下を抑制する効果を無視することによって、実測値よりも大きな沈下量を算出しそ一方テールボイドは存在しないとして実測値よりも小さな沈下量を与えるものである。次に、切端が測点のはるか前方まで進行して最終測定時には、トネル横断面内の地表面沈下量は図-5のようになる。この図を見ると、ケースAの解析結果と実測結果とは比較的良く一致している。このことは、ケースAの解析法による前記のような過大と過小な計算値が相殺した結果によるものと思われ。なお、ケースBの解析が、図-4, 5のいずれにおいても実測結果より大になつてゐるのは当然のことである。

参考文献：1) Ito, Hisatake; Proc. 4th Int. Conf. Numer. Meth. Geomech., 1982. 2) 久武・伊藤；土木学会論文報告集投稿中. 3) 伊藤他4名；第17回土質工学会年講, 1982. 4) 久武・竹山・伊藤；土木学会論文報告集投稿中. 5) 川本他3名；土と基礎, 20-3, 1972. 6) 土質調査試験結果の解釈と適用例, 土質工学会.

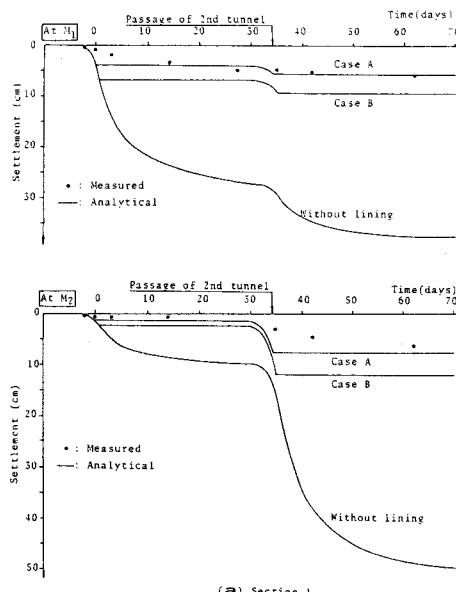


図-4 M<sub>1</sub>, M<sub>2</sub>での実測と解析の経時沈下

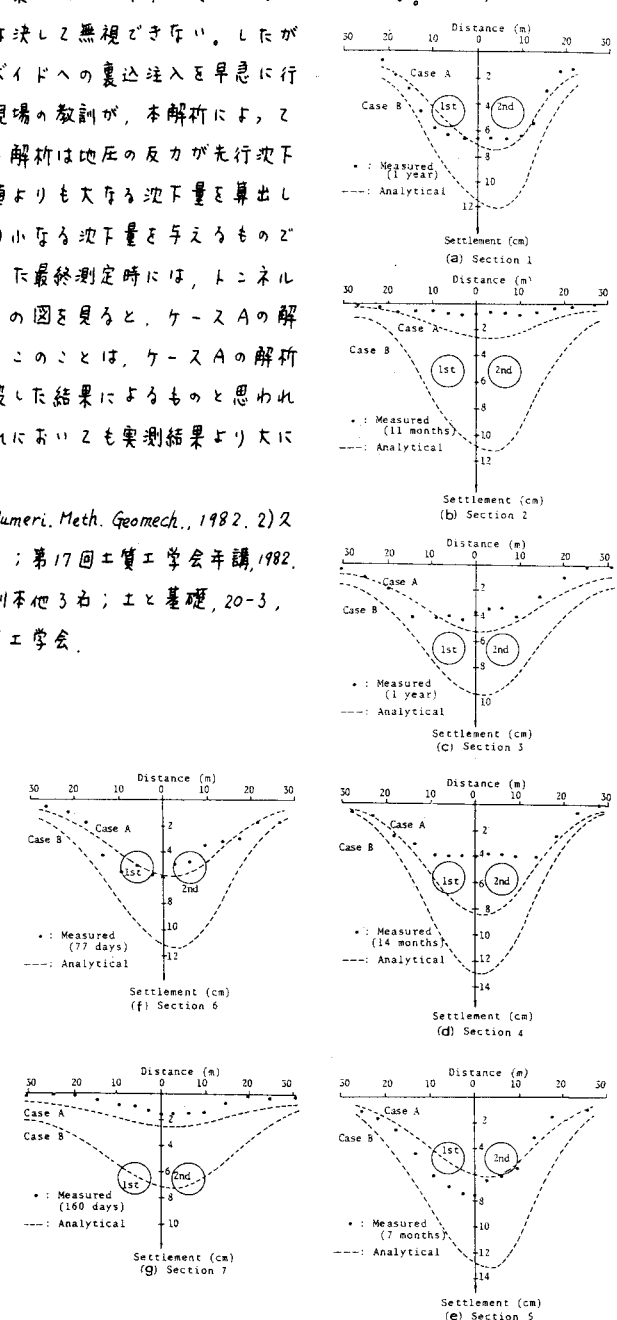


図-5 最終測定時の実測と解析の沈下の比較